

УДК 539.3

ВОЛНА РАЗГРУЗКИ В ЦИЛИНДРИЧЕСКОЙ СЕТИ

© 2019 г. Дж. Г. Агаларов^а, Т. Дж. Гасанова^б, Г. А. Мамедова^{а,*}

^а Институт математики и механики Национальной академии наук Азербайджана,
Баку, Азербайджан

^б Азербайджанский архитектурно-строительный университет, Баку, Азербайджан
* e-mail: gular-gulshan@rambler.ru

Поступила в редакцию 02.02.2019 г.

После доработки 16.02.2019 г.

Принята к публикации 28.02.2019 г.

На основе уравнений движения сети в общем случае строятся уравнения движения цилиндрической сети.

Определяются варианты распространения волн в случае основы сети из упругих волокон. Решена задача о распространении волн разгрузки в предварительно натянутой сети. Задача решается методом характеристик. Задача иллюстрируется расчетами.

Ключевые слова: сеть, волна, скорость, деформация, радиус

DOI: 10.1134/S0572329919050027

Введение. В статьях [1–6] были исследованы волны в сетях в прямоугольной декартовой системе координат. Здесь исследуются волны в цилиндрической системе координат. Очевидно при растяжении цилиндрическая сеть будет сужаться; помещенная на жесткую трубу она при движении будет подвергаться действию сил трения между ней и трубой. Во избежание этого сеть помещается на винтовую трубу специального профиля, представляющую винтовой цилиндр с пористым наполнителем (Рудольф). На рис. 1 цифрой 1 – помечена сеть, 2 – пористый наполнитель. Такие трубы применяются, в частности при бурении и промывке скважин. Практически эти явления могут иметь место в гибких трубопроводах.

Цель работы – состоит в исследовании волн в цилиндрических сетях. Учитывая множество вариантов распространения волн в цилиндрических сетях делается попытка решения задачи о непрерывных волнах.

1. Общие уравнения движения сети. Уравнение движения сети в пространстве, построенном на основе теории Рахматулина Х.А., с учетом реакции поддерживающего тела и геометрические соотношения будут иметь вид, в отличие от [7, 8],

$$\begin{aligned} \frac{\partial}{\partial s_1} (\sigma_1 \bar{c}_1) + \frac{\partial}{\partial s_2} (\sigma_2 \bar{c}_2) &= 2\rho \frac{\partial^2 \bar{r}}{\partial \tau^2} + p \bar{n} \\ (1 + e_1) \bar{c}_1 &= \frac{\partial \bar{r}}{\partial s_1}; \quad (1 + e_2) \bar{c}_2 = \frac{\partial \bar{r}}{\partial s_2} \end{aligned} \quad (1.1)$$

Здесь \bar{r} – радиус вектор частицы сети, p – сила реакции опоры;

e_1, e_2 – относительные удлинения соответствующих нитей;

s_1, s_2 – Лагранжевы координаты частиц нитей;

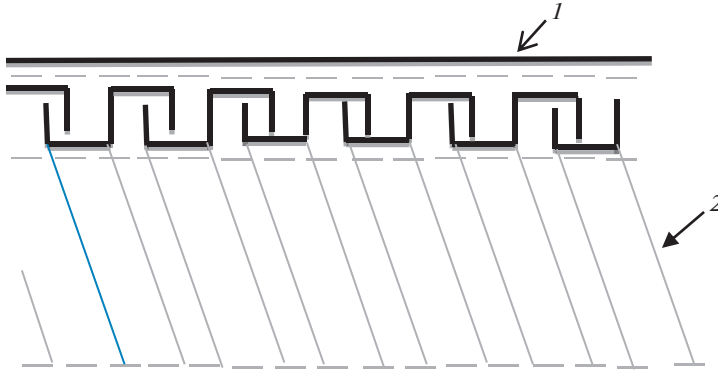


Рис. 1

σ_1, σ_2 – условные напряжения, определяемые как сумма натяжений отдельных нитей одного семейства (пересекающих участок нити другого семейства), отнесение к первоначальной длине рассматриваемого элемента.

(Такое распределение массы и усилий допустимо при достаточно густой сети),

ρ – масса сети, приходящая на единицу площади в начальном состоянии;

$\bar{\tau}_1, \bar{\tau}_2$ – единичные векторы, касательные к нитям;

\bar{n} – нормаль к поверхности основания.

2. Координатная система. За базис цилиндрической системы принимаются: единичный вектор \bar{i} – параллельный оси цилиндра, \bar{j} – единичный вектор касательной к поперечному сечению цилиндра, \bar{k} – единичный вектор, перпендикулярный к предыдущим.

Тогда

$$\bar{\tau}_1 = \cos\gamma_1 \bar{i} + \sin\gamma_1 \bar{j}; \quad \bar{\tau}_2 = \cos\gamma_2 \bar{i} + \sin\gamma_2 \bar{j}$$

где $\gamma_{1,2}$ – углы нитей, образованные с осью цилиндра

Производные

$$\begin{aligned} \frac{\partial \bar{\tau}_1}{\partial s_1} &= \cos\gamma_1 \frac{\partial \bar{i}}{\partial s_1} + \bar{i} \frac{\partial(\cos\gamma_1)}{\partial s_1} + \sin\gamma_1 \frac{\partial \bar{j}}{\partial s_1} + \bar{j} \frac{\partial(\sin\gamma_1)}{\partial s_1} \\ \frac{\partial \bar{\tau}_2}{\partial s_2} &= \cos\gamma_2 \frac{\partial \bar{i}}{\partial s_2} + \bar{i} \frac{\partial(\cos\gamma_2)}{\partial s_2} + \sin\gamma_2 \frac{\partial \bar{j}}{\partial s_2} + \bar{j} \frac{\partial(\sin\gamma_2)}{\partial s_2} \end{aligned}$$

Или учитывая

$$\frac{\partial \bar{i}}{\partial s_1} = \frac{\partial \bar{i}}{\partial s_2} = 0; \quad \frac{\partial \bar{j}}{\partial s_1} = -\frac{\sin\gamma_1}{r} \bar{k}; \quad \frac{\partial \bar{j}}{\partial s_2} = -\frac{\sin\gamma_2}{r} \bar{k}$$

Получим

$$\begin{aligned} \frac{\partial \bar{\tau}_1}{\partial s_1} &= \frac{\partial(\cos\gamma_1)}{\partial s_1} \bar{i} - \frac{(\sin\gamma_1)^2}{r} \bar{k} + \frac{\partial(\sin\gamma_1)}{\partial s_1} \bar{j} \\ \frac{\partial \bar{\tau}_2}{\partial s_2} &= \frac{\partial(\cos\gamma_2)}{\partial s_2} \bar{i} - \frac{(\sin\gamma_2)^2}{r} \bar{k} + \frac{\partial(\sin\gamma_2)}{\partial s_2} \bar{j} \end{aligned} \tag{2.1}$$

Также учитывая $\vec{r} = x\vec{i} + r\vec{k}$, имеем

$$\begin{aligned}\frac{\partial \vec{r}}{\partial t} &= \frac{\partial x}{\partial t} \vec{i} + r \frac{\partial \vec{k}}{\partial t} = \frac{\partial x}{\partial t} \vec{i} + r\omega \vec{j} \\ \frac{\partial^2 \vec{r}}{\partial t^2} &= \frac{\partial^2 x}{\partial t^2} \vec{i} + r \frac{\partial \omega}{\partial t} \vec{j} + r\omega \frac{\partial \vec{j}}{\partial t} \quad \text{или} \quad \frac{\partial^2 \vec{r}}{\partial t^2} = \frac{\partial^2 x}{\partial t^2} \vec{i} + r\epsilon \vec{j} + r\omega^2 \vec{k}\end{aligned}\quad (2.2)$$

x – координата вдоль оси цилиндра, ω – угловая скорость, ϵ^* – угловое ускорение.

3. Уравнения движения цилиндрической сети. Подставив (2.1) и (2.2) в (1.1) получим

$$\begin{aligned}\frac{\partial}{\partial s_1}(\sigma_1 \cos \gamma_1) + \frac{\partial}{\partial s_2}(\sigma_2 \cos \gamma_2) &= 2\rho \frac{\partial^2 x}{\partial t^2} \\ \frac{\partial}{\partial s_1}(\sigma_1 \sin \gamma_1) + \frac{\partial}{\partial s_2}(\sigma_2 \sin \gamma_2) &= r\epsilon^* \\ -\frac{\sigma_2}{r} \sin^2 \gamma_2 - \frac{\sigma_2}{r} \sin^2 \gamma_2 &= p + 2\rho r\omega^2\end{aligned}\quad (3.1)$$

Далее рассматривается симметричное расположение правых и левых волокон. Тогда уравнения (3.1), учитывая

$$\sigma_1 = \sigma_2 = \sigma, \quad \gamma_1 = -\gamma_2 = \gamma, \quad \omega = 0, \quad \epsilon = 0$$

примут вид

$$\begin{aligned}\frac{\partial}{\partial s}(\sigma \cos \gamma) &= \rho \frac{\partial^2 x}{\partial t^2} \\ -2\sigma \sin \gamma &= p\end{aligned}\quad (3.2)$$

4. Геометрические соотношения. Определим производную радиуса-вектора \vec{r} по s .

Обозначив $\vec{r} = x\vec{i} + r\vec{k}$

$$\frac{\partial \vec{r}}{\partial s} = \frac{\partial x}{\partial s} \vec{i} + \frac{\partial r}{\partial s} \vec{k} = \frac{\partial x}{\partial s} \vec{i} + \frac{\partial y}{\partial s} \vec{j}$$

y – круговая координата, где согласно (1.1) и (2.1)

$$(1 + e_1) \cos \gamma_1 \vec{i} + (1 + e_1) \sin \gamma_1 \vec{j} = \frac{\partial r}{\partial s_1}$$

$$(1 + e_2) \cos \gamma_2 \vec{i} + (1 + e_2) \sin \gamma_2 \vec{j} = \frac{\partial r}{\partial s_2}$$

$$(1 + e) \cos \gamma = \frac{\partial x}{\partial s}\quad (4.1)$$

$$(1 + e) \sin \gamma = \frac{\partial y}{\partial s}\quad (4.2)$$

Поскольку сеть не вращается, то $y = \text{const}$ (по времени)

$$\frac{\partial ((1 + e) \sin \gamma)}{\partial t} = 0$$

или

$$(1 + e_0) \sin \gamma_0 = (1 + e) \sin \gamma\quad (4.3)$$

где e_0 и γ_0 значения параметров в начальном состоянии.

Полагая материал сети линейно упругим, т.е. $\sigma = E \cdot \epsilon$, систему (3.2), (4.1) и (4.3) можно свести к одному квазилинейному уравнению второго порядка.

То есть из (3.2) следует

$$E \cdot \frac{\partial e}{\partial s} \cos \gamma + E \cdot e \cdot \frac{\partial}{\partial s} \cos \gamma = \rho \cdot \frac{\partial^2 x}{\partial t^2}\quad (4.4)$$

или учитывая

$$\frac{E}{1+e} \cdot \frac{\partial e}{\partial s} \frac{\partial x}{\partial s} + E \cdot e \cdot \frac{\partial}{\partial s} \left(\frac{1}{1+e} \cdot \frac{\partial x}{\partial s} \right) = \rho \cdot \frac{\partial^2 x}{\partial t^2} \quad (4.5)$$

Или

$$\frac{E}{1+e} \cdot \left(1 - \frac{e}{1+e} \right) \cdot \frac{\partial e}{\partial s} \frac{\partial x}{\partial s} + \frac{E \cdot e}{1+e} \cdot \frac{\partial^2 x}{\partial s^2} = \rho \cdot \frac{\partial^2 x}{\partial t^2} \quad (4.6)$$

Из (4.3) и (4.1)

$$(1+e)^2 = \left(\frac{\partial x}{\partial s} \right)^2 + (1+e_0)^2 \sin^2 \gamma_0 \quad (4.7)$$

откуда

$$\left(\frac{\partial x}{\partial s} \right)^2 = (1+e)^2 - (1+e_0)^2 \sin^2 \gamma_0 \quad (4.8)$$

или

$$(1+e) \frac{\partial e}{\partial s} = \frac{\partial x}{\partial s} \frac{\partial^2 x}{\partial s^2} \quad (4.9)$$

Подставив (4.9) в (4.6), получим

$$\frac{E}{1+e} \cdot \left(1 - \frac{e}{1+e} \right) \cdot \frac{1}{1+e} \left(\frac{\partial x}{\partial s} \right)^2 \frac{\partial^2 x}{\partial s^2} + \frac{E \cdot e}{1+e} \cdot \frac{\partial^2 x}{\partial s^2} = \rho \cdot \frac{\partial^2 x}{\partial t^2}$$

или

$$\frac{E}{1+e} \cdot \left[\frac{\left(\frac{\partial x}{\partial s} \right)^2}{(1+e)^2} + e \right] \frac{\partial^2 x}{\partial s^2} = \rho \cdot \frac{\partial^2 x}{\partial t^2}$$

или

$$\frac{a_0^2}{1+e} \cdot \left[\frac{\left(\frac{\partial x}{\partial s} \right)^2}{(1+e)^2} + e \right] \frac{\partial^2 x}{\partial s^2} = \frac{\partial^2 x}{\partial t^2} \quad (4.10)$$

Подставив (4.8) $\partial x/\partial s$ в (4.10), получим

$$a_0^2 \cdot \left[1 - \frac{(1+e_0)^2 \sin^2 \gamma_0}{(1+e)^3} \right] \frac{\partial^2 x}{\partial t^2} = \frac{\partial^2 x}{\partial t^2} \quad (4.11)$$

Подставив (4.7) в (4.11), получим

$$a_0^2 \cdot \left[1 - \frac{(1-e_0)^2 \sin^2 \gamma_0}{\left(\sqrt{\left(\frac{\partial x}{\partial s} \right)^2 + (1+e_0)^2 \sin^2 \gamma_0} \right)^3} \right] \frac{\partial^2 x}{\partial t^2} = \frac{\partial^2 x}{\partial t^2} \quad (4.12)$$

Последнее уравнение представляет собой квазилинейное уравнение в частных производных.

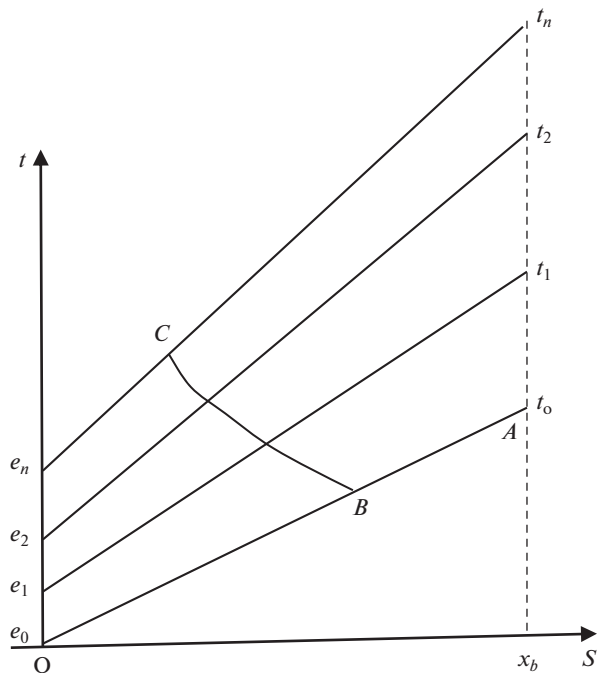


Рис. 2

Коэффициент при $\frac{\partial^2 x}{\partial s^2}$ в (4.11) с ростом $\frac{\partial x}{\partial s}$ растет, поэтому скорость волн с ростом деформации увеличивается, что ведет к образованию ударных волн [9]. Непрерывные волны будут возникать при разгрузке предварительно растянутого цилиндра. Рассмотрим этот случай (рис. 2). Здесь применяется метод характеристик.

Из точки 0 волна распространяется с максимальной скоростью $a(e_0)$, поскольку волны с меньшей деформацией распространяются с меньшей скоростью и не будут влиять на состояние на фронте.

Пусть цилиндр находится в растянутом состоянии e_0 .

На границе цилиндр разгружается, т.е. конец его движется со скоростью ϑ .

Характеристики уравнения (4.9) имеют вид, где

$$ds = adt \quad (4.13)$$

$$ds = -adt \quad (4.14)$$

Условия на характеристиках

$$dx_t = adx_s \quad \left(\frac{\partial x}{\partial s} = x_s, \quad \frac{\partial x}{\partial t} = x_t \right) \quad (4.15)$$

и

$$dx_t = -adx_s \quad (4.16)$$

$$a = a_0 \cdot \sqrt{1 - \frac{(1 - e_0)^2 \sin^2 \gamma_0}{\left(\sqrt{\left(\frac{\partial x}{\partial s} \right)^2 + (1 + e_0)^2 \sin^2 \gamma_0} \right)^3}}$$

Фронт волны разгрузки движется с скоростью $a(e_0)$. В области SOA (рис. 2) состояние покоя. Из условия на отрицательной характеристике ВС следует $x_t = -\int_{x_s}^{x_0} a dx_s$; дифференцируя в направлении положительной характеристики имеем $dx_t = -a dx_s$.

Сравнивая с (4.15) получим $x_t = \text{const}, x_s = \text{const}$ т.е. на положительных характеристиках x_t и x_s постоянны.

Из (4.13) имеем, учитывая постоянство x_s на характеристике

$$x = a(t - t_0) \tag{4.17}$$

На $x = 0$ выбираем t_0 и определяем ϵ .

Из (4.17)

$$t_0 = t - \frac{x}{a}$$

и соответственно

$$\vartheta = \vartheta_0(t_0) \quad \text{или} \quad \vartheta = \vartheta_0\left(\tau - \frac{x}{a}\right) \tag{4.18}$$

Рассмотрим примеры: $\gamma_0 = \frac{\pi}{4}$ и $\gamma_0 = \frac{\pi}{6}$, $e_0 = 0.1$, $a_0 = 5000$ м/с.

График $a(x_s) = a(\epsilon)$ ($x_s = \epsilon$), $f(\epsilon)$ показан на рис. 3 и график $e(\epsilon)$, $m(\epsilon)$ показан на рис. 4.

Пусть на границе $s = 0$ цилиндр разгружается со скоростью $\vartheta(t)$.

На границе $s = 0$ также имеет место

Из (4.18),

$$\vartheta(t) = -\int_{\epsilon_0}^{\epsilon} a(x_s) dx_s \tag{4.19}$$

где ϑ – функция верхнего предела интеграла.

Уравнение (4.19) является уравнением для определения осевой деформации сети $x_s = \epsilon$ (в отличие от деформации волокон e), приближенно представив интеграл (4.12) в виде суммы имеем

$$\vartheta = -\int_{\epsilon_0}^{\epsilon} a(\eta) d\eta \tag{4.20}$$

$$\vartheta = \int_{\epsilon}^{\epsilon_0} a(\eta) d\eta$$

$$\vartheta_0 = a(\epsilon_0) \Delta\epsilon$$

$$\vartheta_1 = (a(\epsilon_0) + a(\epsilon_1)) \cdot \Delta\epsilon$$

$$\vartheta_2 = (a(\epsilon_0) + a(\epsilon_1) + a(\epsilon_2)) \cdot \Delta\epsilon$$

.....

$$\vartheta_n = (a(\epsilon_0) + a(\epsilon_1) + \dots + a(\epsilon_n)) \cdot \Delta\epsilon$$

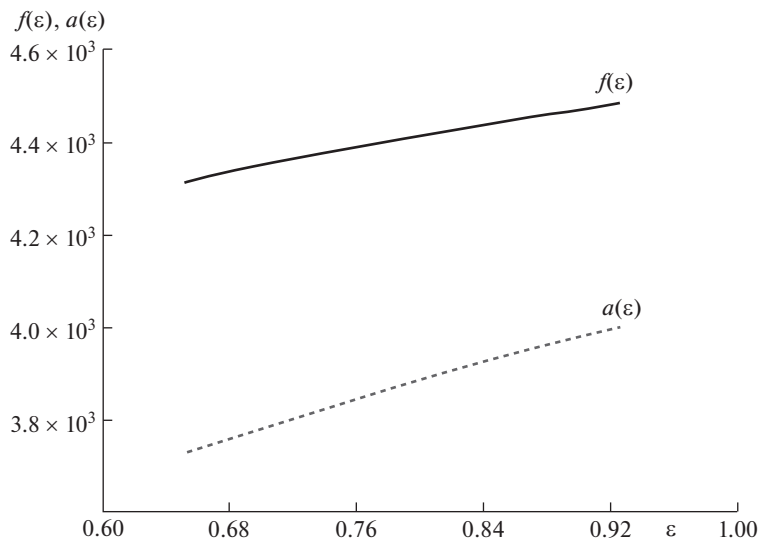


Рис. 3

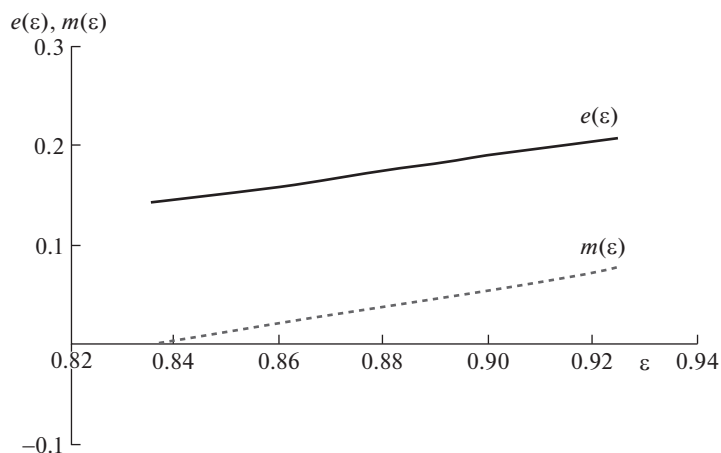


Рис. 4

или

$$\vartheta = f(\varepsilon)$$

т.е. обратную зависимость $\varepsilon \rightarrow \vartheta$ на границе. Поскольку положительные характеристики прямолинейны, можно определить ε во всей области движения. Функциональная зависимость скорости движения – скорость волны и деформация для данного примера представлена в табл. 1

$$\vartheta_n = f(\varepsilon_0 - \varepsilon) \quad (4.21)$$

для $\gamma_0 = \pi/4$ для $\gamma_0 = \pi/6$.

Задавая на границе скорость движения конца сети как функцию времени можно определить деформацию как функцию времени на конце сети и выше-

Таблица 1

ε_0	ε_1	ε_2	ε_3	ε_4	ε_5	ε_6	ε_7	ε_8	ε_9	ε_{10}	ε_{11}
0.925	0.900	0.875	0.85	0.825	0.800	0.775	0.750	0.725	0.700	0.675	0.650
$e(\varepsilon_0)$	$e(\varepsilon_1)$	$e(\varepsilon_2)$	$e(\varepsilon_3)$	$e(\varepsilon_4)$	$e(\varepsilon_5)$	$e(\varepsilon_6)$	$e(\varepsilon_7)$	$e(\varepsilon_8)$	$e(\varepsilon_9)$	$e(\varepsilon_{10})$	$e(\varepsilon_{11})$
0.209	0.190	0.171	0.152	0.134	0.116	0.098	0.081	0.063	0.046	0.030	0.014
ϑ_0	ϑ_1	ϑ_2	ϑ_3	ϑ_4	ϑ_5	ϑ_6	ϑ_7	ϑ_8	ϑ_9	ϑ_{10}	ϑ_{11}
39.98	79.75	119.3	158.63	197.72	236.82	275.67	314.27	352.62	390.70	428.51	466.04
$a(\varepsilon_0)$	$a(\varepsilon_1)$	$a(\varepsilon_2)$	$a(\varepsilon_3)$	$a(\varepsilon_4)$	$a(\varepsilon_5)$	$a(\varepsilon_6)$	$a(\varepsilon_7)$	$a(\varepsilon_8)$	$a(\varepsilon_9)$	$a(\varepsilon_{10})$	$a(\varepsilon_{11})$
3.998×10^3	3.977×10^3	3.955×10^3	3.933×10^3	3.909×10^3	3.885×10^3	3.860×10^3	3.835×10^3	3.808×10^3	3.781×10^3	3.753×10^3	3.724×10^3

Таблица 2

ε_0	ε_1	ε_2	ε_3	ε_4	ε_5	ε_6	ε_7	ε_8	ε_9	ε_{10}	ε_{11}
0.925	0.92	0.915	0.910	0.905	0.900	0.895	0.890	0.885	0.880	0.875	0.870
$e(\varepsilon_0)$	$e(\varepsilon_1)$	$e(\varepsilon_2)$	$e(\varepsilon_3)$	$e(\varepsilon_4)$	$e(\varepsilon_5)$	$e(\varepsilon_6)$	$e(\varepsilon_7)$	$e(\varepsilon_8)$	$e(\varepsilon_9)$	$e(\varepsilon_{10})$	$e(\varepsilon_{11})$
0.076	0.072	0.068	0.063	0.059	0.055	0.050	0.046	0.042	0.038	0.034	0.029
ϑ_0	ϑ_1	ϑ_2	ϑ_3	ϑ_4	ϑ_5	ϑ_6	ϑ_7	ϑ_8	ϑ_9	ϑ_{10}	ϑ_{11}
44.81	89.59	134.5	179.09	223.8	268.49	313.15	357.79	402.4	446.98	491.54	536.07
$a(\varepsilon_0)$	$a(\varepsilon_1)$	$a(\varepsilon_2)$	$a(\varepsilon_3)$	$a(\varepsilon_4)$	$a(\varepsilon_5)$	$a(\varepsilon_6)$	$a(\varepsilon_7)$	$a(\varepsilon_8)$	$a(\varepsilon_9)$	$a(\varepsilon_{10})$	$a(\varepsilon_{11})$
4.481×10^3	4.478×10^3	4.476×10^3	4.474×10^3	4.471×10^3	4.469×10^3	4.466×10^3	4.464×10^3	4.461×10^3	4.458×10^3	4.456×10^3	4.453×10^3

указанным образом всюду в области SOt . Для примера возьмем $\vartheta = bt$ тогда $t = f(\varepsilon)/b$.

В зависимости от распределения скорости на границе определяется распределение деформации постоянной на характеристиках (рис. 3).

СПИСОК ЛИТЕРАТУРЫ

1. *Agalarov J.H., Gulieva M.A.* Movement equation of a net in the plane // Изв. АН Азерб., сер. физ.-мат. наук, жур. "Математика и механика". 1998. Т. XVIII. № 2. С. 103–105.
2. *Seyfullayev A.I., Gulieva M.A.* To the solution of the equilibrium problem of the net // Proceedings of Institute of Mathematics and Mechanics of AS of Azerbaijan. Baku, 2000. V. XIII. P. 144–147.
3. *Agalarov D.G., Seyfullayev A.I., Kulieva M.A.* Численное решение одной плоской задачи равновесия сети // Механика, машиностроение. 2001. № 1. С. 3–4.
4. *Gulieva M.A.* Tension of a rectangular net fastened from two adjacent sides // Proceedings of Institute of Mathematics and Mechanics of NAS of Azerbaijan, 2002. V. XVI (XXIV). P. 156–160.
5. *Agalarov J.H., Gulieva M.A.* Waves of strong breaks in nets // Proceedings of Institute of Mathematics and Mechanics of NAS of Azerbaijan, 2002. V. XVII (XXV). P. 135–137.
6. *Агаларов Д.Г.* Исследование движения сетей при ударе // Известия Академии Наук Азербайджанской ССР, Серия физико-технических и математических наук. 1982. № 6. С. 38–41.
7. *Рахматулин Х.А.* Об ударе по гибкой нити // ПММ. 1947. Т. 10. № 3. С. 379–382.
8. *Agalarov J.H., Efendiev A.N.* The propagation of nonlinear waves in a structure consisting of net system // Rakenteiden mekaniika seura RY Finnish association for structural mechanics, 1988. V. 21. № 2. P. 3–10.
9. *Баренблат Г.И.* О распространении мгновенных возмущений в среде с нелинейной зависимостью напряжений от деформаций // ПММ. 1953. Т. 17. № 4. С. 455–460.